

*ارزیابی رفتار عرشه‌ی کامپوزیتی چند سلولی فولادی تقویت شده با صفحات GFRP

الهام علیزاده^(۱) مهدی دهستانی^(۲) بهرام نوائی‌نیا^(۳)

چکیده طراحی عرشه‌ی پل‌ها به منظور حفظ مقاومت، دوام و پایایی در طول عمر مفید آن‌ها از چالش‌های فرآوری مهندسان سازه به حساب می‌آید. برای فائق شدن براین چالش‌ها راه حل‌های مختلفی ارائه گردیده است که یکی از آن‌ها استفاده از سیستم ترکیبی مشکل از مصالح متداول نظیر بتون و فولاد به همراه صفحات FRP می‌باشد که تحت عنوان عرشه‌های کامپوزیتی نیز شناخته می‌شود. از آنجایی که این عرشه‌ها نسبتاً جدید است عملکرد آن‌ها برای حالت‌های مختلف کاملاً شناخته شده نمی‌باشد. تحقیق حاضر به بررسی عرشه‌ی کامپوزیتی مشکل از هسته‌ی فولادی و صفحات GFRP اختصاص یافته است. عرشه‌ی مورد بررسی شامل لایه‌های فوقانی و تحتانی از جنس GFRP و چندین جعبه‌ی سلولی فولادی در مرکز است. با استفاده از روش اجزای محدود و تحلیل استاتیکی غیرخطی رفتار این عرشه‌ها مورد ارزیابی قرار گرفته است در وهله‌ی اول با نتایج آزمایشگاهی موجود مقایسه و پس از اطمینان از صحیت مدل‌سازی عرشه‌ی کامپوزیتی، تغییر پارامترهای مختلف نظیر ابعاد هندسی، شکل هسته‌ی فولادی و خواص مکانیکی مصالح صورت پذیرفته است. نتایج نشان می‌دهد که الگوی گسینه‌نگی عرشه‌ی مورد مطالعه به دلایل تسلیم هسته‌ی فولادی، نسبت به عرشه‌های ساخته شده از FRP مطلوب‌تر است و با افزایش ضخامت و تغییر هندسی هسته‌ی فولادی، می‌توان ظرفیت باربری عرشه را افزایش داد. هم‌چنین افزایش مدلول الاستیسیته‌ی لایه‌ی Grid که بیشترین ضخامت را در بین لایه‌های GFRP دارد، سبب افزایش ظرفیت باربری عرشه می‌گردد.

واژه‌های کلیدی عرشه‌ی کامپوزیتی، صفحات GFRP، هسته‌ی فولادی مستطیلی و ذوزنقه‌ای، روش اجزای محدود غیرخطی.

Evaluation the Behavior of Composite Multicellular Steel Decks Strengthened by GFRP Plates

E. Ali zade

M. Dehestani

B. Navayinia

Abstract Design of bridge deck with long-term strength, durability and permanence is a significant interest for engineers. One applicable solution to this challenge could be via using hybrid system consisting of conventional materials such as concrete and steel with FRP plates which is also known as composite deck. Since these deck are relatively new so their performance is not completely known. The present study is dedicated to composite deck consists of a steel core and GFRP plates. This composite sandwich bridge deck system is composed of wrapped hybrid core of GFRP grid and multiple steel box cells with upper and lower GFRP facings. The structural performance of deck was evaluated by nonlinear finite element method and numerical results have been compared with available experimental results where possible. After ensuring the validity of numerical modeling of composite deck, parametric studies such as change in geometry, steel core shape and mechanical properties of materials have been done. It was found that failure mode of the proposed hybrid deck was more favorable because of the yielding of the steel tube when compared with that of absolute GFRP decks. Increasing the thickness and changing the steel core geometry can improve the ultimate load capacity of the deck. The grid layer has the maximum thickness among the GFRP layers and therefore ultimate load capacity of the deck enhanced by increase the elastic modulus of grid layer.

Keywords Composite Decks, GFRP Plates, Rectangular and Trapezoidal Steel Core, Nonlinear Finite Element Method.

★ تاریخ دریافت مقاله ۹۲/۲/۸ و تاریخ پذیرش آن ۹۳/۷/۰۵ می‌باشد.

(۱) کارشناس ارشد سازه، دانشگاه صنعتی نوشیروانی، بابل.

(۲) نویسنده‌ی مسئول، استادیار، دانشکده‌ی مهندسی عمران، دانشگاه صنعتی نوشیروانی، بابل.

(۳) دانشیار، دانشکده‌ی مهندسی عمران، دانشگاه صنعتی نوشیروانی، بابل.

خوردگی و وزن کم به صورت پیش‌ساخته نیز قابل اجرا می‌باشد که از مزیت‌های مهم آن‌ها شمرده می‌شود. به منظور کاهش میزان مصرف FRP، این گونه عرشه‌ها را می‌توان به صورت چند سلولی با مقاطع مختلف مثلثی، ذوزنقه‌ای، مربعی و غیره تولید نمود [5].

عرضه‌های کامپوزیتی در دو دهه‌ی اخیر به دلیل مزایای برشمرده شده، بسیار مورد توجه پژوهشگران و طراحان قرار گرفته است. گان و همکاران در سال ۲۰۰۰ عرضه‌هایی با مقاطع مختلف از جنس GFRP (Glass Fiber Reinforced Polymer) را با استفاده از روش اجزای محدود مدل‌سازی کردند و تنش‌های حداقل، خصوصیات کمانشی، سختی محلی، سختی کلی و حداقل تغییر مکان هر یک از آن‌ها را مورد بررسی قرار دادند. نتایج نشان می‌دهد که حداقل تنش کششی در همه‌ی نمونه‌ها تقریباً یکسان است و عرضه‌ی ۴ سلولی سختی کلی کمتری نسبت به سایر نمونه‌ها دارد. هم‌چنان مقاطع ۳ سلولی دارای سخت‌کننده، سختی کلی بالایی دارد و موجب کاهش تنش‌های فشاری عرضه می‌گردد [6].

ریسینگ و همکاران در سال ۲۰۰۴ عرضه‌های کامپوزیتی را با مقاطع گوناگون از جنس GFRP ساختند و جزئیات اتصال عرضه‌ها به شاهتیر، نحوه عملکرد و دوام هر یک از آن‌ها را به صورت آزمایشگاهی مورد ارزیابی قرار دادند. نتایج نشان می‌دهد که عرضه‌های مورد بررسی فواید و برتری‌های مورد انتظار برای عرضه‌ی GFRP نسبت به عرضه‌های بتون مسلح معمولی را تحقق بخشیدند [7].

کیم و همکاران در سال ۲۰۰۴ با استفاده از روش اجزای محدود، عرضه‌هایی را از جنس GFRP و با مقاطع مستطیلی و ذوزنقه‌ای مدل‌سازی کردند و عملکرد سازه‌ای آن‌ها را مورد مقایسه قرار دادند. نتایج نشان می‌دهد که مقاطع ذوزنقه‌ای مقطعی بهینه برای عرضه‌های چند سلولی به حساب می‌آیند [8].

جیانگ و لی در سال ۲۰۰۶ مطالعات آزمایشگاهی

مقدمه

عرضه نقش اساسی در رفتار پل‌ها ایفا می‌کند و دوام آن می‌تواند در طول زمان بر عملکرد پل تأثیر بسزایی داشته باشد. طراحی و ساخت عرضه باید به گونه‌ای انجام شود که هزینه‌های ساخت، نگهداری و تعمیر آن کاهش یابد. در صورت اجرای عرضه‌ها به صورت پیش‌ساخته، زمان احداث پل و مشکلات مربوط به اجرای آن می‌تواند تا اندازه‌ی زیادی کاهش یابد. تعداد زیادی از عرضه‌هایی که تاکنون ساخته شده‌اند، از نوع بتون مسلح بوده‌اند و به علت وزن و ضخامت زیاد، اجرای آن‌ها به صورت پیش‌ساخته امکان‌پذیر نمی‌باشد [1,2].

عرضه‌ی اگزودرمیک نمونه‌ای از عرضه‌های کامپوزیتی متشكل از پروفیل فولادی و بتون می‌باشد که در سال ۱۹۸۰ توسط نیل بتیگول مهندس مشاور پل در نیوجرسی ساخته شده است [3]. عملکرد مربوط به نمونه‌ی دیگری از عرضه‌های کامپوزیتی پروفیل فولادی و بتون نیز توسط کیم و جیانگ در سال ۲۰۰۹ به صورت آزمایشگاهی مورد بررسی قرار گرفت [4]. عرضه‌های بتونی - پروفیل فولادی، وزن و ضخامت کمتری نسبت به عرضه‌های بتون مسلح معمولی دارند، بنابراین می‌توان آن‌ها را در دهانه‌های بلندتری اجرا نمود. در این گونه عرضه‌ها بتون و فولاد به گونه‌ای در کنار هم قرار می‌گیرند که از ویژگی‌های هر یک از مصالح، حداقل استفاده شود. علی‌رغم برتری‌های فوق نسبت به عرضه‌های بتون مسلح، مقاومت این عرضه‌ها در قبال خوردگی نسبت به برخی از عوامل محیطی پایین است و هزینه‌های تعمیر و نگهداری آن‌ها بالا می‌باشد. به طور کلی با توجه به موقعیت قرارگیری عرضه‌ها در پل‌ها در صورتی که مسئله‌ی خوردگی حائز اهمیت باشد و وزن عرضه نیز بسیار پایین باشد، می‌توان از عرضه‌هایی با مقاطعی از جنس FRP (Fiber Reinforced Polymer) استفاده نمود. عرضه‌های ساخته شده از FRP علاوه بر مقاومت بالا در برابر

سیستم‌های سازه‌ای اولین بار توسط هیلمن و موری در سال ۱۹۹۰ ارائه شد. آن‌ها از ترکیب مقاطع پیش‌ساخته‌ی FRP و بتن برای ساخت عرشه استفاده کردند، به گونه‌ای که وزن عرشه نسبت به عرشه‌های بتُنی بیش از ۵۰ درصد کاهش یافته است [12].

باکری و ساندر در سال ۱۹۹۰ عملکرد سازه‌ای عرشه‌ی کامپوزیتی متشکل از پوسته‌ای منحنی شکل از FRP را که محفظه‌ی داخلی آن با بتن پر شده را به روش اجزای محدود مورد ارزیابی قرار دادند [13]. سعیدی در سال ۱۹۹۴ مطالعات آزمایشگاهی و تحلیلی Carbon (CFRP) را روی تیرهای ساخته شده از مقاطع (Fiber Reinforced Polymer) با پوشش دال بتن مسلح را انجام داد. در نمونه‌های آزمایشگاهی از چسب اپوکسی برای اتصال بتن و CFRP استفاده شده است. ایشان نتیجه گرفتند که بهتر است علاوه بر چسب از برش‌گیرهایی برای افزایش عملکرد مرکب دال بتُنی و CFRP استفاده شود [14]. دسکوبیک و همکاران در سال ۱۹۹۵ تیرهایی با مقطع مربعی از جنس CFRP ساختند که ناحیه‌ی فشاری آن‌ها با بتن پر شده و از یک لایه‌ی نازک CFRP در کشن استفاده شده است. برش‌گیرهایی نیز برای بهبود عملکرد مرکب بین بتن و مقطع CFRP قرار داده شده است. آزمایش‌های تجربی حاکی از عملکرد سازه‌ای بسیار مناسب و هزینه‌ی مقررین به صرفه‌ی این تیرها بوده است [15].

کیتان و عارف در سال ۲۰۰۴ تیرهایی با مقطع ذوزنقه‌ای از جنس CFRP ساختند و آزمایش‌های خستگی و بارگذاری استاتیکی را بر روی آن انجام دادند. در تیرهای مورد بررسی برای کاهش میزان FRP و هزینه‌ی ساخت از یک لایه‌ی بتن در ناحیه‌ی فشاری استفاده شده است به گونه‌ای که با استفاده از این لایه تغییرشکل‌های محلی تیر نسبت به تیرهایی که کاملاً از FRP ساخته شده‌اند، کاهش یافته است [16].

وارن و عارف در سال ۲۰۱۰ رفتار سازه‌ای عرشه‌هایی با مقطع ذوزنقه‌ای را با احتساب عملکرد مرکب بین عرشه و تیر مورد ارزیابی قرار دادند. طبق

و میدانی روی عرشه‌هایی با مقطع مستطیلی و از جنس GFRP انجام دادند و عملکرد و اینمی آن‌ها را ارزیابی کردند. نتایج حاصل از آزمایش‌های نشان می‌دهد که عرشه‌ی مورد مطالعه مقاومت و سختی مورد انتظار را به خوبی تأمین کرده، زمان احداث پل را نیز به مقدار زیادی کاهش داده و مشکلات اجرایی را کم کرده است [9].

برون و برمن نیز در سال ۲۰۱۰ آزمایش‌های مقامت نهایی و خستگی بر روی دو عرشه از جنس GFRP انجام دادند و نتیجه گرفتند که نمونه‌های مورد بررسی جایگزین مناسبی برای عرشه‌ی قوی فولادی قدیمی به حساب می‌آیند [10].

جی و همکاران در سال ۲۰۱۰ مطالعات آزمایشگاهی و میدانی در زمینه‌ی عرشه‌های ساندویچی و از جنس GFRP انجام دادند و نتیجه گرفتند که عرشه‌ی مورد بررسی بار و سختی مورد نظر را تأمین می‌کند و زمان ساخت و نصب آن نیز بسیار کوتاه می‌باشد [11].

قیمت اولیه‌ی عرشه‌هایی که کاملاً از FRP ساخته می‌شوند، بسیار بالا است و کمانش زودهنگام جان این‌گونه عرشه‌ها آن‌ها را در معرض ناپایداری قرار می‌دهد و از نقاط ضعف آن‌ها محسوب می‌شود. موجود در ناحیه‌ی فشاری آن‌ها نیز ممکن است دچار کمانش محلی و خردشدنگی گردد. بنابراین محققان پیشنهاد می‌کنند که صفحات FRP به صورت ترکیب با مصالح متداول مانند بتن و فولاد به کار گرفته شوند. FRP در این نوع عرشه‌های کامپوزیتی علاوه بر نقش سازه‌ای و تحمل قسمتی از بار، وظیفه‌ی پوششی مناسب و مقاومت در برابر خوردگی را نیز به عهده دارد. در این عرشه‌ها با توجه به خصوصیات هر یک از مواد و با به کارگیری مناسب آن‌ها می‌توان به ترکیبی بهینه دست یافت و هزینه‌های زیاد ساخت عرشه‌های FRP را کاهش داد و در عین حال از فواید FRP در آن‌ها بهره برد.

ایده‌ی ترکیب FRP و بتن در اعضای خمشی

مقایسه‌ی نتایج حاصل از مدل‌های عددی با نتایج آزمایشگاهی انجام شده توسط دیگر محققان بوده است به گونه‌ای که بتوان با تشخیص پارامترهای مؤثر، رفتار این نوع از عرشه‌ها را بدون انجام آزمایش‌های هزینه‌بر و به کمک روش‌های عددی برآورد نمود.

مدل‌سازی عرشه‌ی کامپوزیتی

به منظور تحلیل عرشه‌های کامپوزیتی به روش عددی اجزای محدود، ابتدا مدلی از عرشه‌ی کامپوزیتی که نمونه‌ی آزمایشگاهی آن توسط جی و همکاران [19] اجرا و تحت بار استاتیکی مورد آزمایش قرار گرفته است تهیه می‌شود و پس از مقایسه‌ی نتایج مدل عددی این تحقیق و نتایج آزمایشگاهی مذکور و اطمینان از صحت مدل عددی، نتایج حاصل برای سایر حالات تحلیل عددی ارائه می‌گردد.

نمونه‌ی آزمایشگاهی عرشه‌ی کامپوزیتی

سئون جی و همکاران در سال ۲۰۱۱ رفتار عرشه‌ی کامپوزیتی به طول ۳، عرض ۱ و ضخامت ۰/۱۶۴ متر را به صورت آزمایشگاهی مورد بررسی قرار دادند [19]. برای ساخت عرشه از ۸ قوطی فولادی به ابعاد $125 \times 125 \times 4/5$ میلی‌متر که به‌طور کامل به هم جوش خورده استفاده شده است و سمباده برای تمیز کردن زنگ موجود روی سطح قوطی فولادی به کار گرفته شده است. پس از تمیز کردن سطح فولاد، لایه‌ی GFRP مرکزی به هسته‌ی فولادی چسبانده شده و سپس شبکه‌ی GFRP که با استفاده از الیاف GFRP و GFRP چسب به روش دستی ساخته شده روی لایه‌ی مرکزی قرار داده شده است. لایه‌هایی از GFRP در ناحیه‌ی تحتانی و فوقانی عرشه نیز چسبانده شده‌اند [19]. شکل (۱-الف) مقطع عرضی کل عرشه و ابعاد هر یک از اجزا و (۱-ب) نمای سه بعدی عرشه را نشان می‌دهد.

عرضه‌ی کامپوزیتی مورد نظر مطابق آئین‌نامه‌ی

نتایج حاصل از آزمایش‌های ایشان، این عرشه‌ها جایگزین مناسبی برای عرشه‌های بتون مسلح به حساب می‌آیند [17].

هی و همکاران در سال ۲۰۱۲ عملکرد عرشه‌ی کامپوزیتی متشکل از دال بتون مسلح را که در ناحیه‌ی کششی آن صفحه‌ای از جنس GFRP قرار گرفته است را به صورت آزمایشگاهی مورد بررسی قرار دادند. ایشان برای افزایش عملکرد مرکب اجزای تشکیل دهنده‌ی عرشه نیز از برش‌گیر استفاده کردند. نتایج نشان می‌دهد که علاوه بر برش‌گیر با ماسه‌پاشی روی سطوح GFRP نیز می‌توان عملکرد مرکب اجزای عرشه و در نتیجه ظرفیت برابری آن را بهبود بخشدید [18].

جی و همکاران در سال ۲۰۱۱ رفتار عرشه‌ی کامپوزیتی متشکل از هسته‌ی فولادی و صفحات FRP موجود در ناحیه‌ی کششی و فشاری را به صورت آزمایشگاهی بررسی کردند. نتایج نشان می‌دهد که مود گسیختگی عرشه‌های کامپوزیتی متشکل از هسته‌ی فولادی و FRP – به دلیل تسلیم هسته‌ی فولادی – نسبت به عرشه‌هایی که کاملاً از FRP ساخته می‌شوند، مطلوب‌تر است. وزن عرشه‌ی کامپوزیتی به دلیل استفاده از FRP نسبت به عرشه‌های فولادی کمتر است و هزینه‌ی ساخت عرشه نیز به دلیل ترکیب FRP با فولاد، نسبت به عرشه‌هایی که فقط از FRP ساخته می‌شوند، حدود ۵۰ درصد کاهش یافته است [19].

همان‌طوری که پیشتر بیان شد، اکثر مطالعاتی که پیرامون عرشه‌های کامپوزیتی صورت پذیرفته است به صورت آزمایشگاهی می‌باشد. بدلیل هزینه‌های بالای مطالعات آزمایشگاهی و زمان بر بودن آن‌ها، استفاده از روش اجزای محدود برای بررسی رفتار این نوع سازه‌ها پیشنهاد شده است تا بتوان با برآورد دقیق‌تری هزینه‌های انجام آزمایش را کاهش داد.

هدف اصلی تحقیق حاضر مدل‌سازی عددی عرشه‌ی کامپوزیتی با استفاده از روش اجزای محدود و

دکارتی تعریف شده است. با استفاده از این المان و حالت‌های مختلف آن می‌توان هندسه‌های پیچیده را با دقت مناسبی مدل‌سازی نمود. این المان توانایی لحاظ نمودن پلاستیسیته، خزش، سخت‌شدگی مجدد، در نظر گرفتن تغییرشکل‌های بزرگ و کرنش‌های بزرگ را دارد [21].

المان 281 SHELL دارای ۸ گره و ۶ درجه‌ی آزادی در هر گره شامل سه جابه‌جایی در راستای محورهای مختصات x , y و z و دوران حول آنها می‌باشد. این المان برای تحلیل سازه‌های نازک تا سازه‌های نسبتاً ضخیم پوسته‌ای مناسب است و برای مدل‌سازی اجزای لایه‌ای و سازه‌های ساندویچی نیز مورد استفاده قرار می‌گیرد [21].

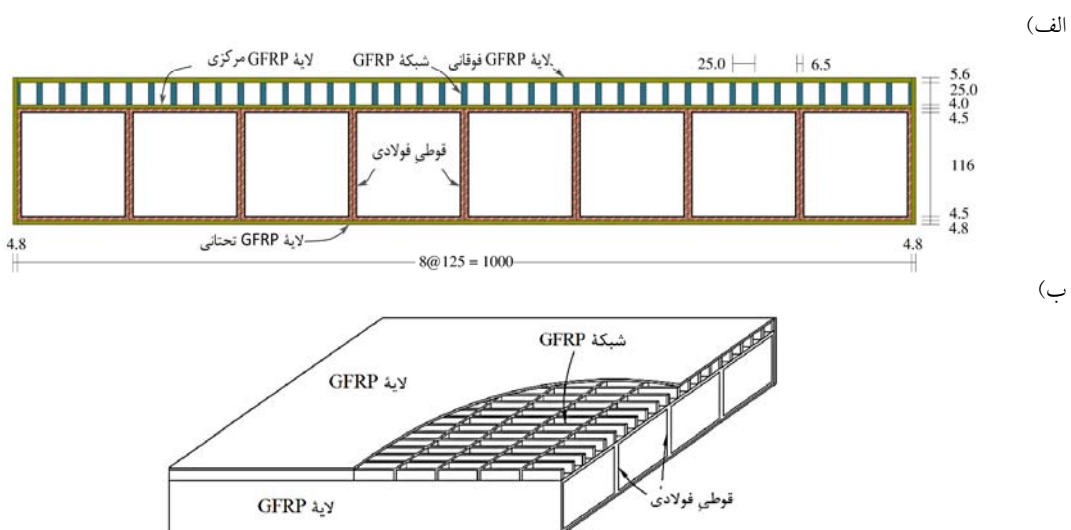
به سبب تقارن سازه و کاهش حجم محاسبات عددی از یک‌چهارم عرشه‌ی کامپوزیتی در مدل‌سازی استفاده شده است. عرشه‌ی ۸ سلولی و یک‌چهارم مدل عددی به همراه شرایط مرزی در شکل (۳) نشان داده شده است.

آنالیز حساسیت مطابق شکل (۴) برای مشبندی عرشه‌ی مورد نظر انجام شده و پس از انتخاب یک سیستم مشبندی مناسب از المان‌هایی به ابعاد $45 \times 75 \times 100$ متر استفاده شده است.

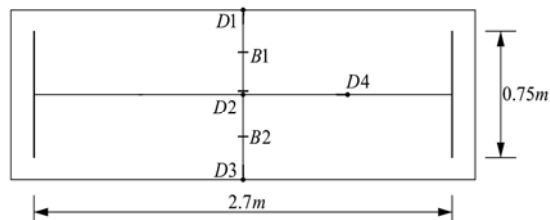
گره [20] طراحی و بار از طریق صفحه‌ای به ابعاد 580×230 میلی‌متر که برابر سطح تماس چرخ کامیون طراحی DB-24 با زمین می‌باشد، به عرضه اعمال شده است. تکیه‌گاههای عرشه نیز به طول 75 متر و به صورت غلتکی می‌باشند [19]. چهار عدد تغییر مکان سنج D_1 , D_2 , D_3 و D_4 و دو عدد کرنش سنج B_1 و B_2 در ناحیه‌ی تحتانی عرشه نصب شده که محل تقارن‌گیری آن‌ها در شکل (۲) آمده است. کرنش سنج T_1 و T_2 نیز در نقطه‌ی متناظر با کرنش سنج B_1 و B_2 در ناحیه‌ی فوقانی عرشه نصب شده است. علاوه بر این خصوصیات اجزای تشکیل دهنده‌ی عرشه‌ی کامپوزیتی نیز مطابق جدول (۱) می‌باشد که در آن E مدول الاستیسیته، G مدول برشی و ν ضریب پواسون می‌باشد.

مدل‌سازی عددی عرشه‌ی کامپوزیتی

برای بررسی عملکرد سازه‌ای عرشه به روش اجزای محدود غیرخطی، از نرم‌افزار ANSYS نسخه‌ی ۱۲.۱ استفاده شده است. المان Solid95 برای مدل‌سازی هسته‌ی فولادی، شبکه‌ی GFRP، ورق‌های GFRP مرکزی و فوقانی و المان Shell 93 برای مدل‌سازی ورق‌های GFRP تحتانی به کار گرفته شده است. المان Solid95 با استفاده از ۲۰ گره و ۳ درجه‌ی آزادی در هر گره در راستای محورهای مختصات



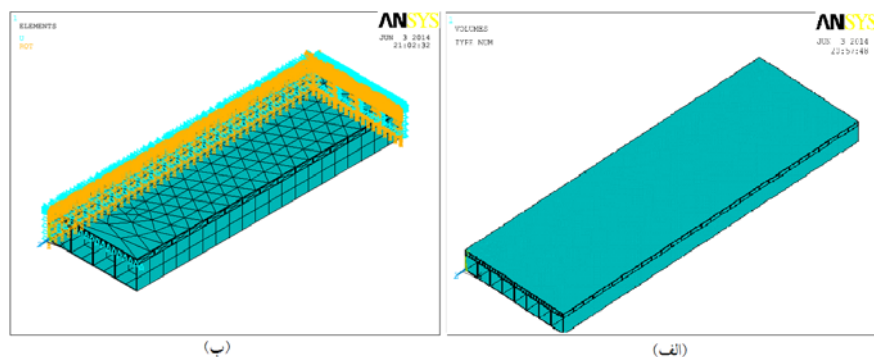
شکل ۱ اجزای تشکیل دهنده‌ی عرشه‌ی کامپوزیتی و ابعاد هر یک از آن‌ها (mm) [19]



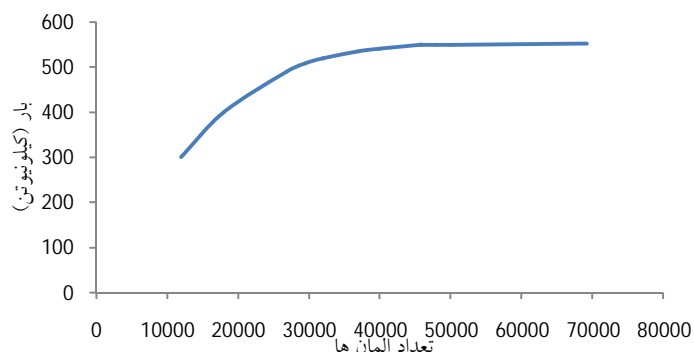
شکل ۲ نحوه قرارگیری کرنس سنج ها و تغییر مکان سنج ها در عرشهای کامپوزیتی [19]

جدول ۱ مشخصات مصالح مصرفی در عرشهای کامپوزیتی [19]

מלחال	E_1 (GPa)	E_2 (GPa)	G_{12} (GPa)	ν_{12}
بالایی GFRP	۷/۹۹	۷/۹۹	۱/۶۹	۰/۳۴۹
پایینی GFRP	۷/۹۹	۷/۹۹	۱/۶۹	۰/۳۴۹
مرکزی GFRP	۱۹/۵۰	۴/۳۵	۱/۷۷	۰/۳۴۹
شبکه‌ی GFRP	۲۰/۳۸	۴/۴۲	۱/۸۰	۰/۳۴۱
هسته‌ی فولادی	۲۰۴/۰۰	۲۰۴/۰۰	۷۷/۹۰	۰/۳۰۰
لایهی چسب	۸/۱۷	۸/۱۷	۱/۷۳	۰/۳۴۳



شکل ۳ مدل اجزای محدود عرشهای ۸ سلولی، (الف) کل مدل، (ب) یک‌چهارم مدل



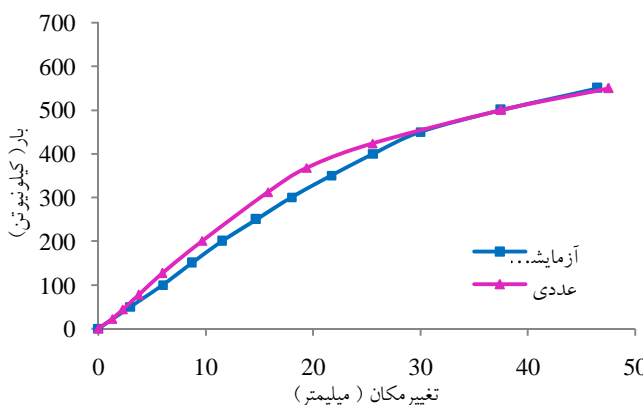
شکل ۴ آنالیز حساسیت

شکل (۲) در برخی نقاط اندازه‌گیری شده که به منظور مقایسه و صحت‌سنجی در روش عددی نیز در نقاط نظیر در جدول (۳) ارائه شده است. همان‌طوری که از جدول (۳) بر می‌آید نتایج آزمایشگاهی تغییرمکان‌سنج‌ها و کرنش‌سنج نصب شده روی عرشه تطابق خوبی با نتایج عددی دارند. گسیختگی نمونه‌ی آزمایشگاهی به دلیل جداسازگی GFRP مرکزی از هسته‌ی فولادی اتفاق افتاده است [19]. در نمونه‌ی عددی نیز روند جداسازگی ورق در محل GFRP مرکزی از هسته‌ی فولادی با کنترل تنش‌های موجود در لایه‌ی چسب مورد ارزیابی قرار گرفته است. تنش‌های قائم و برشی چسب به ترتیب ۵۰ و ۱۸ مگاپاسکال بوده که این مقادیر ملاک گسیختگی چسب می‌باشند. مود گسیختگی عرشه در دو حالت آزمایشگاهی و عددی در شکل (۶) نشان داده شده است. همان‌طوری که ملاحظه می‌شود از جنبه‌های مختلفی تطابق نسبتاً خوبی بین دو مدل آزمایشگاهی و عددی وجود دارد، لذا می‌توان به نتایج حاصل از تحلیل‌های عددی به کمک روش اجزای محدود در خصوصی مدل‌سازی بتن، فولاد و FRP اطمینان نمود.

مقایسه‌ی نتایج آزمایشگاهی و تحلیل عددی
 طبق آئین‌نامه‌ی گره بیشترین تغییرمکان مجاز برای عرضه‌های FRP L/425 در نظر گرفته می‌شود که در آن L فاصله‌ی مرکز تا مرکز شاه‌تیر است. فاصله‌ی بین شاه‌تیرها در عرضه‌ی مورد بررسی ۲/۷ متر می‌باشد. بار کامیون ۴۲۳/۳۲، DB-24 ۱۲۲/۳ کیلونیوتن در نظر گرفته اعمال ضربی ضربه نیز ۱۲۲/۳ کیلونیوتن در نظر گرفته می‌شود [19]. نتایج آزمایشگاهی مرجع [19] و عددی تحقیق حاضر برای تغییرمکان وسط دهانه‌ی تحت بار سرویس در جدول (۲) ارائه شده است. مطابق جدول (۲) مقادیر تغییرمکان‌های وسط دهانه‌ی عرضه‌ی تحت بار سرویس در روش آزمایشگاهی و عددی از حد نهایی تغییرمکان کمتر است. همچنین میزان اختلاف نتایج آزمایشگاهی و عددی ناچیز است که نشان‌دهنده‌ی دقت مدل‌سازی عددی می‌باشد. نمودار نیرو-تغییرمکان در وسط دهانه‌ی عرضه برای دو حالت آزمایشگاهی و تحلیل عددی در شکل (۵) نشان داده شده است. همان‌طوری که از نمودار دیده می‌شود، سختی و ظرفیت نهایی در تحلیل عددی تطابق نسبتاً خوبی با نتایج آزمایشگاهی دارد. علاوه بر این تغییرمکان و کرنش در نمونه‌ی آزمایشگاهی مطابق

جدول ۲ تغییرمکان وسط دهانه‌ی شاه‌تیر تحت بار سرویس ۱۲۲/۳ کیلونیوتن

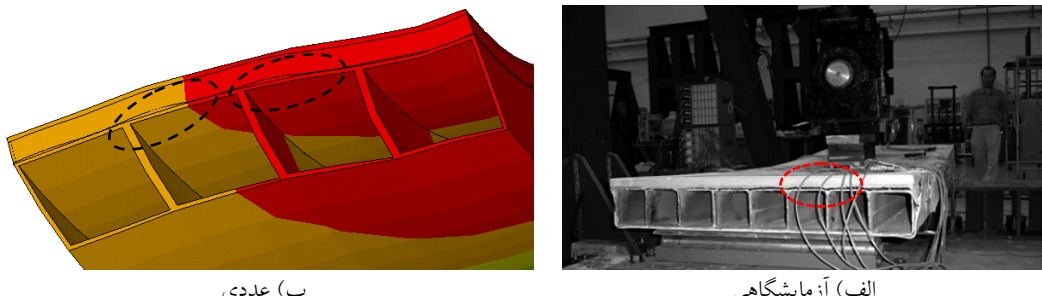
تغییرمکان وسط دهانه (mm)			
تغییرمکان مجاز L/425	آزمایشگاهی [19]	عددی (تحقیق حاضر)	اختلاف درصد آزمایشگاهی و عددی
۶/۳۵	۵/۶۵	۵/۴۶	۳



شکل ۵ نمودار نیرو-تغییرمکان وسط دهانه‌ی عرضه

جدول ۳ تغییر مکان و کرنش در بار تسلیم (۴۰۰ کیلونیوتن)

نمونه	تغییر مکان (mm)				کرنش	
	D ₁	D ₂	D ₃	D ₄	B ₁	T ₁
آزمایشگاهی [19]	۲۰/۷۲۰	۲۵/۶۶۴	۱۸/۸۵۸	۱۶/۴۲۲	۰/۰۰۲۹۶	۰/۰۰۳۳۳
عددی (تحقیق حاضر)	۱۵/۹۴۲	۲۲/۵۷۶	۱۵/۹۴۲	۱۵/۹۷۶	۰/۰۰۲۰۵	۰/۰۰۳۱۸



شکل ۶ الگوی گسیختگی عرشه، جداشدگی GFRP مرکزی از هسته‌ی فولادی در دو نمونه‌ی (الف) آزمایشگاهی و (ب) عددی

رفتار و ظرفیت باربری عرشه مورد بررسی قرار گرفته است.

با ثابت نگه داشتن مساحت هسته‌ی فولادی در مقاطع عرضی، تعداد سلول‌های هسته‌ی عرشه از ۸ (نمونه‌ی کترل) به ۴، ۶ و ۱۰ تغییر داده شده است (شکل ۷) تا اثر تعداد جان‌ها، ضخامت و هم‌چنین فاصله‌ی بین آن‌ها بر ظرفیت باربری و رفتار سازه مشخص گردد. لازم به توضیح است که جنس و ضخامت بقیه‌ی لایه‌های به کار برده شده در عرشه‌های کامپوزیتی مدل‌سازی شده برابر با نمونه‌ی کترل عددی در نظر گرفته شده است.

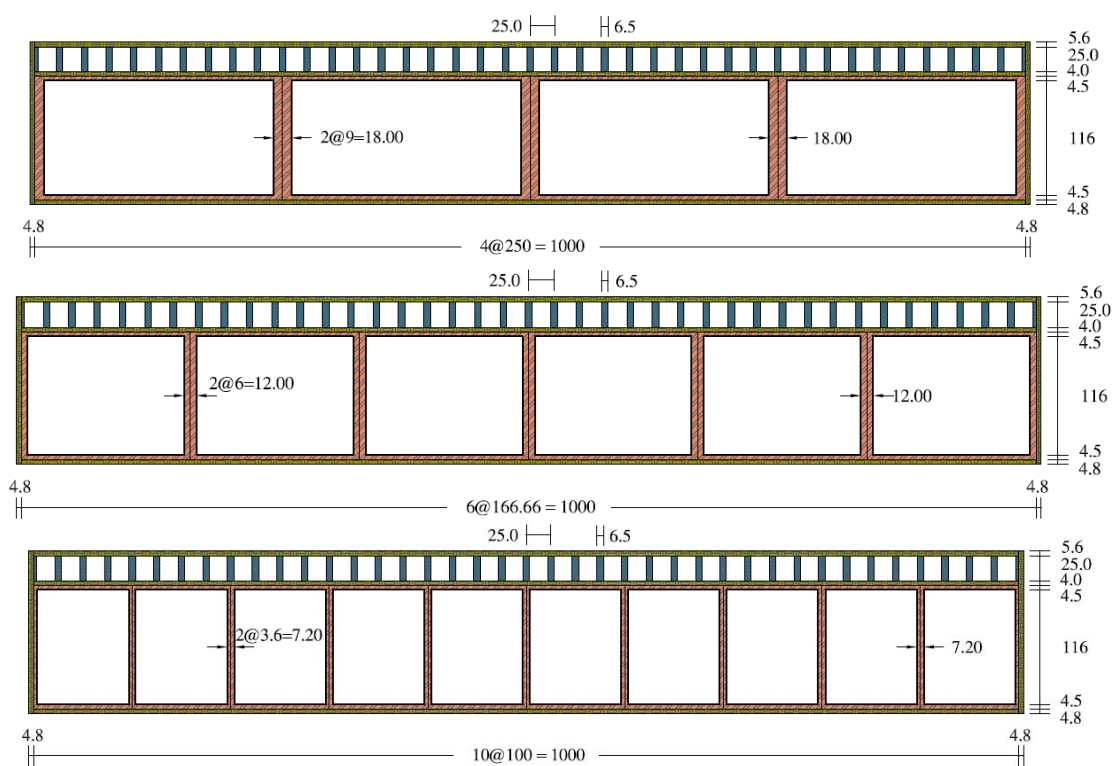
نمودارهای بار-تغییر مکان عرشه‌های ۴، ۶، ۱۰ و نمونه‌ی کترل عددی (عرضه‌ی ۸ سلولی) در شکل (۸) آمده است. از شکل (۸) می‌توان ملاحظه نمود که تغییر در تعداد سلول‌های عرشه‌ی ۸ سلولی تأثیر چندانی بر سختی، ظرفیت باربری و شکل پذیری عرشه ندارد.

مطالعات پارامتریک

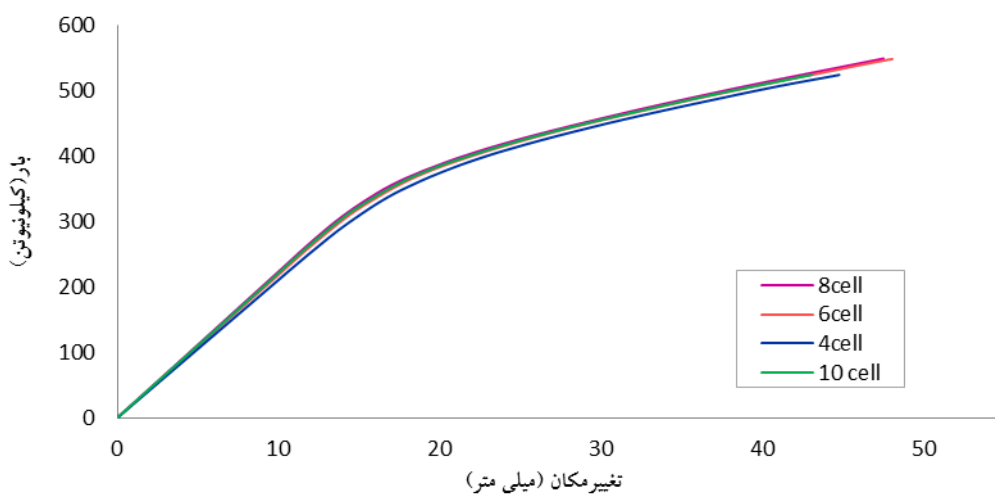
پس از اطمینان از صحت‌سنگی مدل‌سازی عددی بهروش اجزای محدود، تحلیل‌های پارامتریک برای عرشه‌ی کامپوزیتی مورد بررسی با تغییر ابعاد، شکل هسته‌ی فولادی و خواص مکانیکی لایه‌های GFRP صورت پذیرفته است. در کلیه‌ی تحلیل‌ها نوع المان‌ها و نحوه‌ی مدل‌سازی به همان شیوه‌ای می‌باشد که در بخش صحت‌سنگی مد نظر قرار گرفته است.

اثر تغییر ابعاد هسته‌ی فولادی

به‌منظور بررسی اثر تغییر ابعاد هسته‌ی فولادی بر رفتار عرشه‌های کامپوزیتی عرشه‌ی ۸ سلولی فولادی- FRP (شکل ۱) در نظر گرفته شده است. از آنجایی که هسته‌ی عرشه به صورت سلولی می‌باشد تعداد سلول‌ها و ارتفاع جان هسته می‌تواند از پارامترهای تأثیرگذار بر رفتار سازه باشد، به همین دلیل در این بخش میزان تأثیر تعداد سلول‌ها و ارتفاع جان هسته‌ی فولادی بر



شکل ۷ عرشه‌های فولادی ۴، ۶ و ۱۰ سلوی



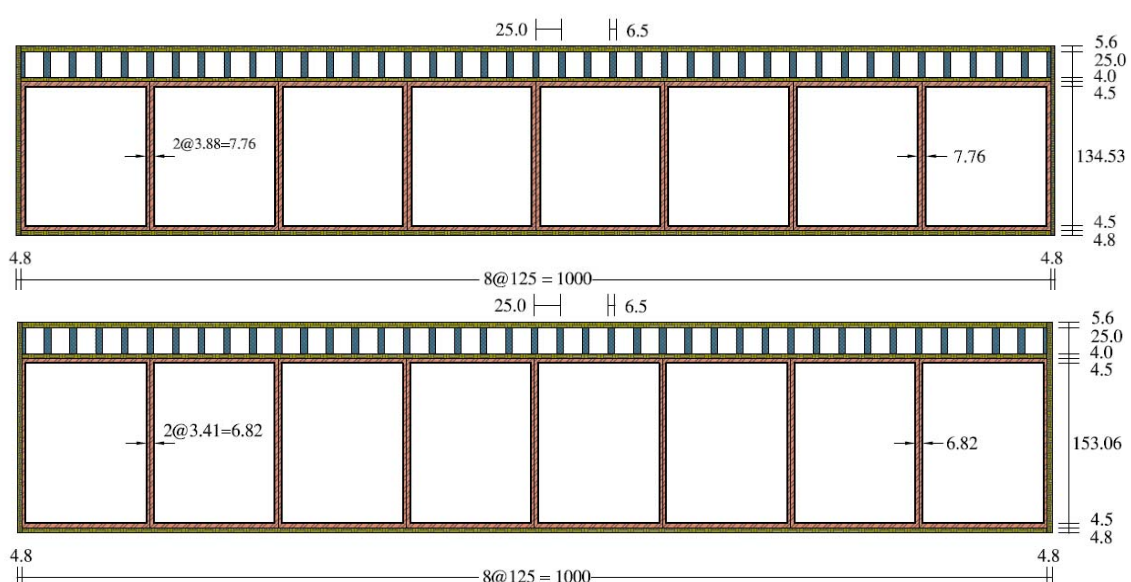
شکل ۸ بار- تغییر مکان وسط دهانه عرشه کتترل (۸ سلوی) و عرشه‌های ۴، ۶ و ۱۰ سلوی

عرشه‌ی کامپوزیتی بر عملکرد آن مورد ارزیابی قرار گیرد. جنس و ضخامت بقیه‌ی لایه‌های به کار رفته در عرشه‌های کامپوزیتی مدل‌سازی شده، برابر با نمونه‌ی

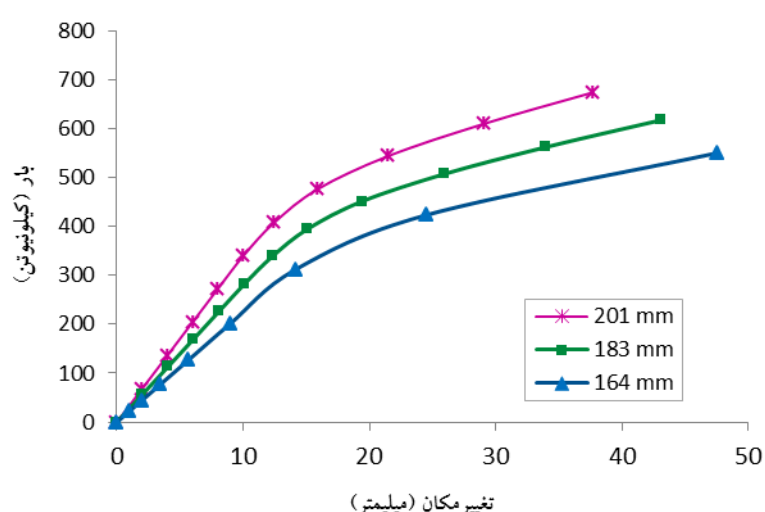
در ادامه، با ثابت نگه داشتن مساحت هسته‌ی فولادی، ارتفاع جان عرشه‌ی ۸ سلوی (نمونه‌ی کتترل عددی) افزایش داده شده است تا اثر افزایش ضخامت

۱۶۴ به ۲۰۱ میلیمتر رسیده ۲۲ درصد می‌باشد. افزایش ظرفیت باربری را می‌توان ناشی از بالا رفتن سختی نمونه‌ها دانست که در اثر افزایش ضخامت عرشه به وجود می‌آید. لازم به ذکر است که گسیختگی عرشه‌های فوق بدلیل جداسدگی GFRP از هسته‌ی فولادی و قبل از کمانش نهایی جان عرشه اتفاق افتاده است.

کترل عددی می‌باشد که دو نمونه با ضخامت ۱۸۳ و ۲۰۱ میلی‌متر در شکل (۹) نشان داده شده است. ضخامت نمونه‌ی کترل عددی نیز ۱۶۴ میلی‌متر می‌باشد. نمودارهای بار- تغییر مکان عرشه‌ها با ارتفاع متفاوت در شکل‌های (۱۰) نشان داده شده است. همان‌طوری که از شکل (۱۰) بر می‌آید افزایش ارتفاع هسته‌ی فولادی باعث افزایش ظرفیت باربری عرشه می‌گردد که این میزان برای نمونه‌ای که ضخامت آن از



شکل ۹ عرشه‌های کامپوزیتی با ارتفاع ۱۸۳ و ۲۰۱ میلی‌متر



شکل ۱۰ بار- تغییر مکان عرشه‌های کامپوزیتی با ارتفاع‌های ۱۸۳، ۲۰۱ و ۱۶۴ میلی‌متر

ندارد. میزان افزایش ظرفیت باربری و انرژی در نمونه‌ی فوق در اثر تغییر شکل هسته‌ی فولادی به حالت ذوزنقه‌ای به ترتیب ۱۱ و ۴۷ درصد می‌باشد. با توجه به این‌که میزان و خصوصیات مکانیکی هر یک از مصالح مورد استفاده در عرشه‌ی ذوزنقه‌ای به طور کامل مشابه نمونه‌ی کنترل ۸ سلولی مستطیلی می‌باشد و با استفاده از نتایج به دست آمده از نمودار فوق، می‌توان نتیجه گرفت که عرشه‌ی ذوزنقه‌ای مورد بررسی رفتار نسبتاً بهتری نسبت به عرشه‌ی مستطیلی دارد.

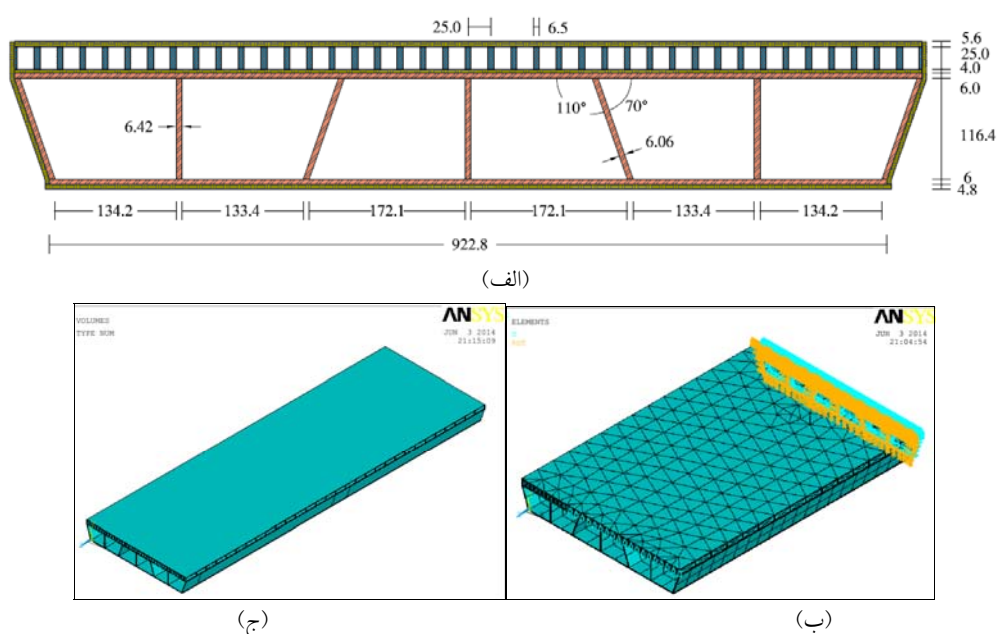
به منظور بررسی اثر تعداد سلول‌ها بر رفتار عرشه با ثابت نگهداشت مساحت فولاد در مقطع عرضی معادل فولاد عرشه کنترل عددی و هم‌چنین ثابت نگهداشت ضخامت عرشه، نمونه‌های ۵، ۷ و ۹ سلولی مدل‌سازی شده و ظرفیت باربری آن‌ها مورد ارزیابی قرار گرفته است (شکل ۱۳). نمودارهای بار-تغییر مکان نمونه‌ی فوق در شکل (۱۴) نشان داده شده است که مطابق آن، افزایش تعداد سلول‌های نمونه‌ی ذوزنقه‌ای تأثیر زیادی در سختی و شکل‌پذیری ندارد ولی ظرفیت باربری را افزایش می‌دهد. افزایش سلول‌های عرشه‌ی ذوزنقه‌ای از ۵ به ۹ ظرفیت باربری را ۱۰ درصد افزایش داده است.

اثر شکل هندسی مقطع هسته‌ی فولادی (مستطیلی و ذوزنقه‌ای)

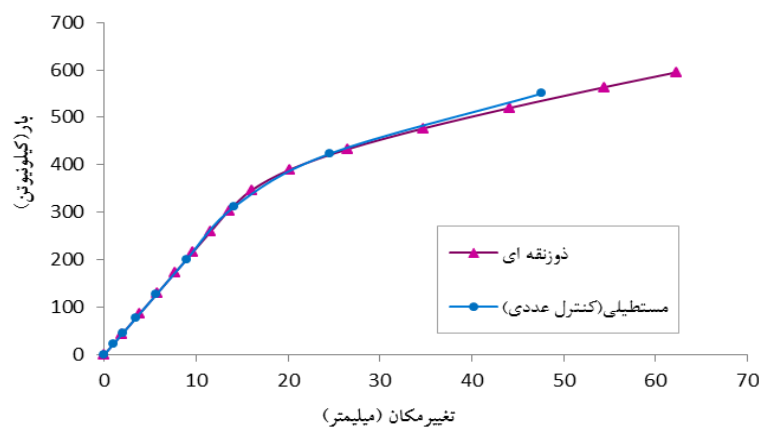
از آنجایی که شکل مقطع عرشه‌ی سلولی می‌تواند یکی از عوامل تأثیرگذار بر رفتار عرشه باشد، در این بخش تأثیر تغییر شکل مقطع هسته‌ی فولادی از حالت مستطیلی به ذوزنقه‌ای مورد بررسی قرار می‌گیرد.

با ثابت ماندن مساحت فولاد مصرفی در هسته‌ی عرشه‌ی کامپوزیتی مستطیلی (نمونه‌ی کنترل)، شکل هسته‌ی فولادی از حالت مستطیلی به ذوزنقه‌ای تغییر داده شده است. در این مطالعه فقط شکل مقطع هسته‌ی فولادی تغییر داده شده است و سایر خصوصیات هندسی و مکانیکی لایه‌های عرشه‌ی کامپوزیتی و هم‌چنین ضخامت کل عرشه ثابت در نظر گرفته شده‌اند. مقطع عرشه‌ی کامپوزیتی با هسته‌ی ذوزنقه‌ای و مدل عددی آن در شکل (۱۱) و نمودارهای بار-تغییر مکان عرشه‌ی مورد بررسی نیز در شکل (۱۲) نشان داده شده است.

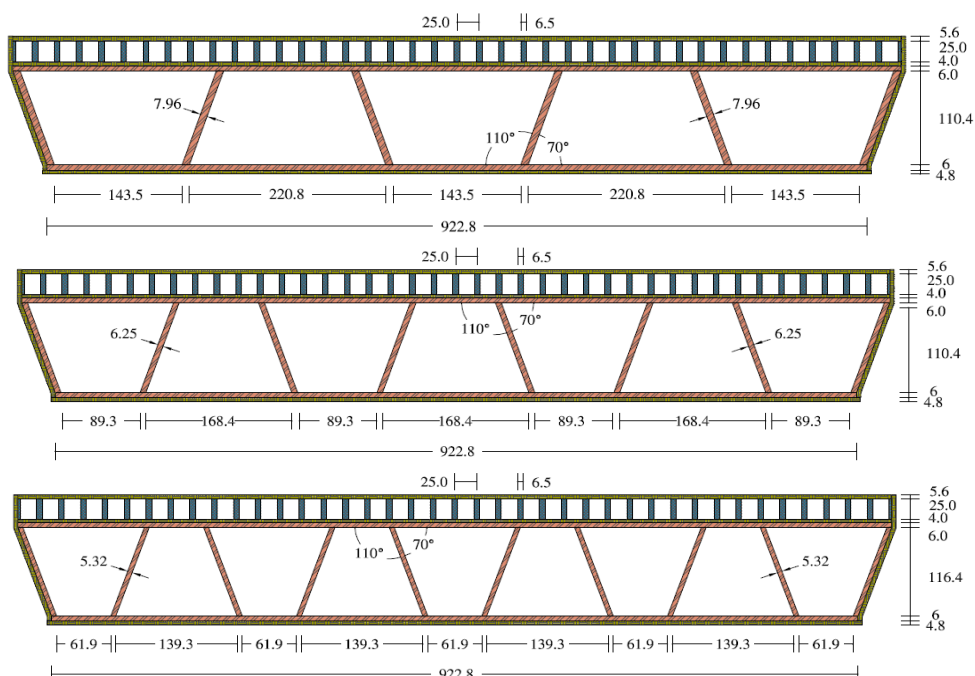
همانطوری که از شکل (۱۲) مشاهده می‌شود عرشه‌ی ذوزنقه‌ای ظرفیت باربری و توانایی جذب انرژی را نسبت به عرشه‌ی مستطیلی که حجم فولاد یکسانی دارند، افزایش می‌دهد ولی تأثیر چندانی در سختی عرشه



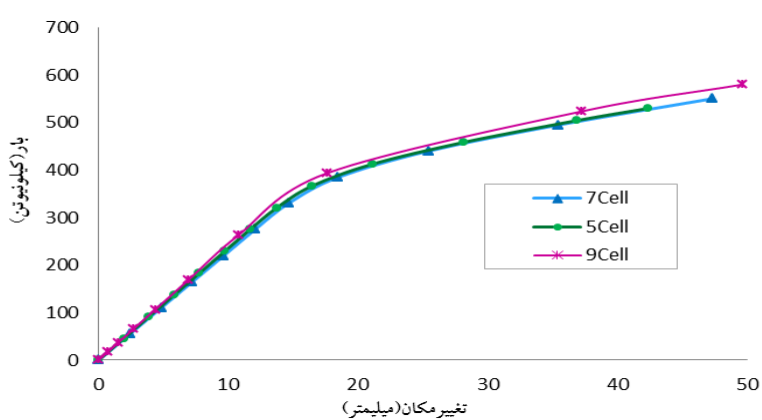
شکل ۱۱ عرشه‌ی کامپوزیتی با هسته‌ی ذوزنقه‌ای: (الف) مقطع هسته، (ب) کل مدل عددی، (ج) نصف مدل عددی



شکل ۱۲ بار- تغییر مکان عرضه‌ی ذوزنقه‌ای و نمونه‌ی کنترل ۸ سلولی مستطیل



شکل ۱۳ عرضه‌های کامپوزیتی ۵، ۷ و ۹ سلولی با مقطع ذوزنقه‌ای

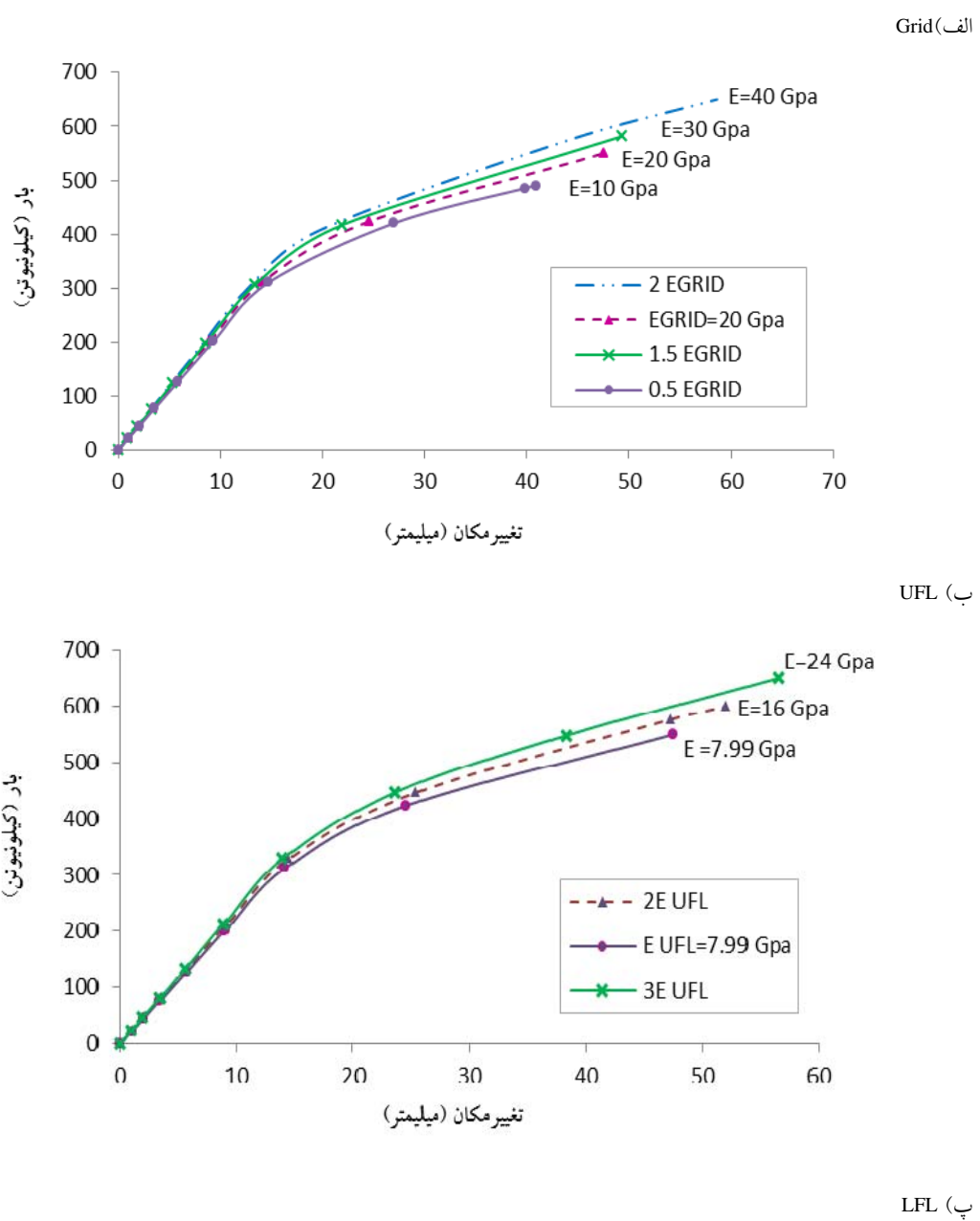


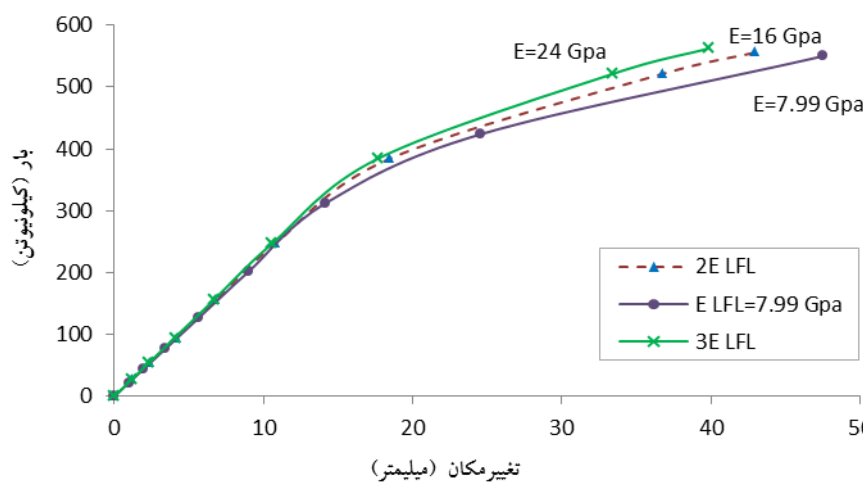
شکل ۱۴ نمودار بار- تغییر مکان عرضه‌های کامپوزیتی ذوزنقه‌ای ۵، ۷ و ۹ سلولی

بررسی دارد، تأثیر آن نیز بر ظرفیت باربری عرشه کامپوزیتی نسبت به بقیه‌ها بیشتر است. افزایش مدول الاستیستیه این لایه، سبب افزایش ظرفیت باربری عرشه می‌گردد. پس از Grid، لایه‌های CFL و LFL به ترتیب بیشترین تأثیر را بر ظرفیت باربری نمونه‌ی کنترل عددی دارند. شکل (۱۵) نتایج اشاره شده‌ی فوق را با جزئیات بیشتری نشان می‌دهد.

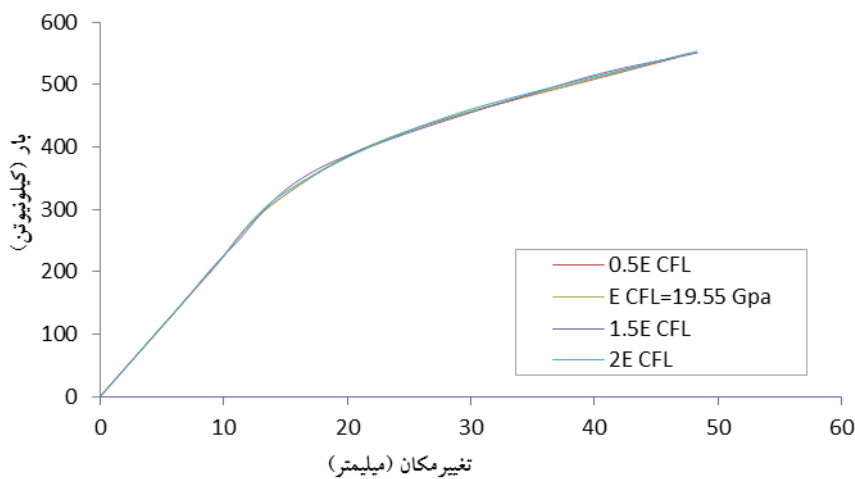
اثر مدول الاستیستیه لایه‌های GFRP

به منظور بررسی اثر مدول الاستیستیه GFRP بر چهار لایه‌ی GFRP پایینی (LFL)، GFRP مرکزی (CFL)، GFRP بالایی (UFL) و شبکه‌ی Grid (Grid) از عرشه کامپوزیتی مستطیلی (نمونه‌ی کنترل عددی) استفاده شده است. نتایج نشان می‌دهد از آنجایی که لایه‌ی Grid بیشترین ضخامت را در بین لایه‌های مورد

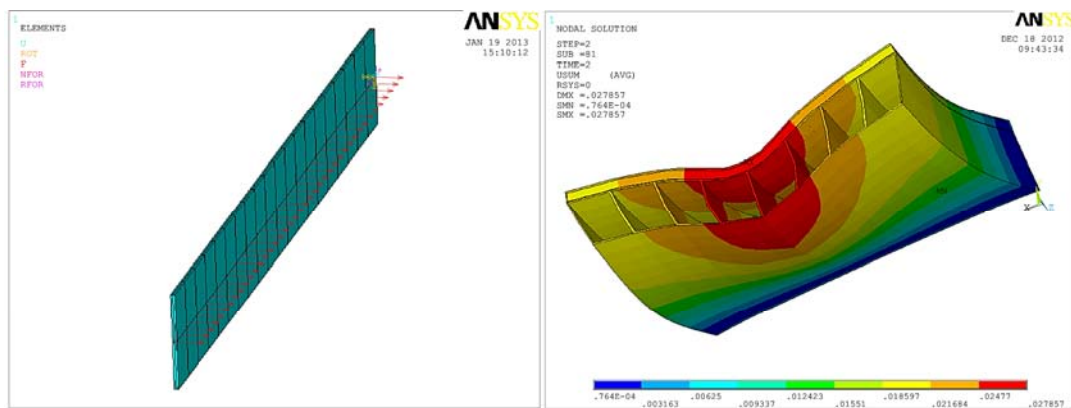




CFL (ت)



شکل ۱۵ نمودار تأثیر مدلول الاستیسیته (الف) Grid, (ب) CFL, (پ) UFL, (ت) LFL



شکل ۱۶ آنالیز کمانشی عرضه‌های کامپوزیتی

نیست بلکه به دلیل خردشدنی GFRP موجود در ناحیه‌ی فشاری بوده است.

نتیجه‌گیری

در این تحقیق رفتار عرشه‌های کامپوزیتی با تغییر پارامترهای مختلف تأثیرگذار به روش اجزای محدود مورد بررسی قرار گرفت و نتایج زیر حاصل گردید:

۱- مقایسه‌ی نتایج عددی و آزمایشگاهی نشان می‌دهد که مدل‌سازی عددی رفتار عرشه‌های کامپوزیتی به روش اجزای محدود از دقت مناسبی برخوردار است.

۲- تغییر در تعداد سلول‌های عرشه‌ی ۸ سلولی تأثیر زیادی در سختی و شکل‌پذیری عرشه ندارد.

۳- افزایش ارتفاع هسته‌ی فولادی تا جایی که باعث کمانش جان هسته نگردد ظرفیت برابری عرشه‌ها را افزایش می‌دهد و باعث بهبود عملکرد آن‌ها می‌گردد.

۴- تغییرشکل هسته‌ی فولادی عرشه‌ی کامپوزیتی هشت سلولی از حالت مستطیلی به ذوزنقه‌ای، سبب افزایش ظرفیت برابری و جذب انرژی عرشه مس شود ولی تأثیر چندانی در سختی عرشه ندارد. به طور کلی عرشه‌ی ذوزنقه‌ای مورد بررسی، عملکرد سازه‌ای نسبتاً بهتری نسبت به عرشه‌ی مستطیلی دارد.

۵- افزایش مدول الاستیستیتی لایه‌ی Grid، سبب افزایش ظرفیت برابری عرشه شده و پس از آن، CFL و LFL چه ترتیب بیشترین تأثیر را بر ظرفیت برابری نمونه‌ی کنترل عددی دارند.

۶- گسیختگی نمونه‌های مورد بررسی به دلیل جداشدنی GFRP از هسته‌ی فولادی و قبل از کمانش نهایی جان عرشه اتفاق می‌افتد.

آنالیز کمانشی عرشه‌ی کامپوزیتی

به منظور بررسی امکان وقوع کمانش جان عرشه‌ها آنالیز کمانشی بر روی تمامی نمونه‌هایی که مطالعه‌ی پارامتریک بر روی آن‌ها صورت پذیرفته، انجام شده است. دو روش برای انجام آنالیز کمانش در نرم‌افزار Ansys پیش‌بینی شده است. این دو روش آنالیز کمانش غیرخطی و آنالیز کمانش خطی (مقادیر ویژه) هستند. معمولاً پاسخ‌های آنالیز کمانش غیرخطی دقیق بالاتری نسبت به روش خطی دارد و برای طراحی دقیق توصیه می‌شود. در روش آنالیز غیرخطی هندسی استاتیکی نرم‌افزار بار را به تدریج افزایش می‌دهد تا جایی که سازه به مرز ناپایداری می‌رسد. روش آنالیز کمانش خطی به مسائل خطی محدود است و براساس روش‌های حل مسائل کلاسیک الاستیک مقادیر ویژه‌ی کمانش انجام می‌شود [۲۲]. در این تحقیق از آنالیز کمانش غیرخطی برای انجام آنالیز کمانشی استفاده شده که در آن نخست بار اولیه کوچکی در راستای عمود بر صفحه‌ی جان‌ها به گرههای موجود در خط طولی میانی جان عرشه وارد می‌شود تا راستای کمانش توسط نرم‌افزار شناخته شود سپس در مرحله‌ی دوم با حذف بار اولیه آنالیز استاتیکی غیرخطی انجام شده است (شکل ۱۶). در مطالعه‌ی پارامتریک نمودار تنفس-کرنش فولاد به صورت الاستوپلاستیک دوخطی و تغییرات تنفس-کرنش GFRP تا لحظه‌ی گسیختگی به صورت خطی در نظر گرفته شده است. پس از انجام مراحل فوق برای تحلیل غیرخطی کمانشی ملاحظه شد که در تمامی نمونه‌ها گسیختگی عرشه ناشی از کمانش GFRP جان نبوده است بلکه به علت جداشدنی مرکزی از هسته‌ی فولادی می‌باشد. با افزایش مقاومت چسب به ۲ الی ۳ برابر مقاومت چسب مورد استفاده در آزمایشگاه نیز خرابی نمونه‌ها به علت کمانش جان‌ها

مراجع

1. Kim. H.Y, Jeong. Y. J, "Experimental investigation on behaviour of steel-concrete composite bridge

- decks with perfobond ribs", *Journal of Constructional Steel Research*, Vol. 62, pp.463-471, (2006).
2. Brown. D. L, Berman. J. W, "Fatigue and Strength Evaluation of Two Glass Fiber-Reinforced Polymer Bridge Decks", *Journal of bridge engineering*, ASCE, Vol 14, pp. 493-503, (2010).
 3. Versace. J, Ramirez. J, "Implementation of Full-Width Bridge Deck Panels, A Synthesis", Publication FHWA/IN/JTRP, Joint Transportation Research program, Indiana Department of Transportation and Purdue University, Paper 116, (2004).
 4. Kim. H.Y, Jeong. Y. J," Ultimate strength of a steel-concrete composite bridge deck slab with profiled sheeting", *Engineering Structures Elsevier*, (2009).
 5. Ji. H. S, Son. B. J, Ma. Z, "Evaluation of Composite Sandwich Bridge Decks with Hybrid FRP-Steel Core", *Journal of Bridge Engineering*, Vol. 14, No. 1, (2009).
 6. Gan. L. H, Ye. L, Mai. Y. W, "Design and evaluation of various section profiles for pultruded deck panels", *Composite Structures* 47, Elsevier, pp.719-725, (2000).
 7. Reising. R, Shahrooz. B, "Close Look at Construction Issues and Performance of Four Fiber-Reinforced Polymer Composite Bridge Decks", *Journal of Composite for Construction*, (2004).
 8. Kim. H. Y, Hwang. Y. K, Park. K, "Fiber reinforced plastic deck profile for I-girder bridges", *Journal of Composite Structures* 67, pp. 411–416, (2005).
 9. Jeong. J, Lee. Y. H, Park. K, "Field and laboratory performance of a rectangular shaped glass fiber reinforced polymer deck", *Journal of Composite Structures* 81, Vol 81, pp. 622–628, (2007).
 10. Brown. D. L, Berman. J. W, "Fatigue and Strength Evaluation of Two Glass Fiber-Reinforced Polymer Bridge Decks", *Journal Of Bridge Engineering Asce*, (2010).
 11. Ji. H. S, Song. W, Ma. Z. J, "Design, test and field application of a GFRP corrugated-core sandwich bridge", *Journal of Engineering Structures Elsevier*, Vol. 32, pp. 2814-2824, (2010).
 12. Hillman, J. R., and Murray, T. M., "Innovative floor systems for steel framed buildings", International Association for Bridge and Structural Engineering, Zurich, Switzerland, Vol 60, pp. 672– 675, (1990).
 13. Bakeri, P. A., and Sunder, S. S., "Concepts for hybrid FRP bridge deck systems" Serviceability and Durability of Construction Materials; Proc., 1st Materials Engineering Congress , ASCE, New York, 2, pp. 1006 –1015, (1990).
 14. Saiidi, M., Gordaninejad, F., and Wehbe, N., "Behavior of graphite/epoxy concrete composite beams", *J. Struct. Eng*, pp. 2958 –2976, (1994).
 15. Deskovic. N, Meier. U, "Innovative design of FRP combined with concrete", *Journal of Structural Engineering*, Vol. 121, No. 7, July 1995, pp. 1069-1078, (1995).
 16. Kitane. Y, Aref. A. J, Lee. G, "Static and Fatigue Testing of Hybrid Fiber-Reinforced Polymer – Concrete Bridge", *Superstructure Journal of Composite for Construction*, Vol. 8, No. 2, pp. 182-190,

- ASCE, (2004).
17. Warn. G. P, Aref. A. J, "Sustained-Load and Fatigue Performance of Hybrid FRP-Concrete Bridge Deck System", *Journal of Composites for Construction*, Vol. 14, No. 6, December, (2010).
 18. He. J, Liu. Y, Chen. A, Dai. L, "Experimental investigation of movable hybrid GFRP and concrete bridge deck", *Journal of Construction and Building Materials*, Vol. 26, pp. 49–64, (2012).
 19. Ji. H. S, Byun. J. K, Lee. C. S, "Structural performance of composite sandwich bridge decks with hybrid GFRP–steel core", *Journal of Composite Structures* 93, Vol. 93, pp. 430–442, (2011).
 20. Ministry of Construction and Transportation (MOCT), "Standards specifications for highway bridge", 2nd Ed., South Korea, (2000).
 21. ANSYS 2012, ANSYS Help.
۲۲. جاهد مطلق. ح، نوبان. م، اشراقتی. م، "اجزای محدود ANSYS" ، انتشارات دانشگاه تهران، چاپ پنجم، (۱۳۹۰).

